

Fe - S

1965

A-678

Vi( $\text{MSO}_4 \cdot \text{H}_2\text{O}$ , M=Ni, Mg, Co, Zn, Fe, Mn,  
Cu)  
 $\text{M}'\text{SeO}_4$ , M=Co, Zn)

Oswald H.R.

Helv.chim.scta, 1965, 48, N3, 600-08

Über die Bindung der wassermolekül in den  
verbindungen  $\text{MeSO}_4 \cdot \text{H}_2\text{O}$  and  $\text{MSO}_4 \cdot \text{H}_2\text{O}$ . 11

Infrarotspektroskopische und kernmagnetische  
Resonanz-Unter-Suchungen (M=Mg, Ni, Cu, Co, Fe,  
Zn, Mn).

PJX, 1967, 10/177

J.

ecius op.K

1968

Fe-S-csgЧаркен О.Г.,  
Демкин И.Е.Fe-S-OFe-S-HalМ. Спирукт. Хесине,  
1968, 9, n 4, 675;

Рассеиваемое строение  
лит. ячейк типа  $NX_2^+$ ,  $MY_2^+$ ,  $MX'X^+$ ,  
 $MXY^+$ ,  $MY_3^+$ ,  $MYX'X^+$ ,  $MX'X''X'''X^+$ ,  $MY'Y^+$ ,  
 $MXY^+$ , где  $X = \text{Cl}, \text{Br}, \text{F}, \text{Y}, \text{Cl}_3$ , а  
 $Y = \text{O}, \text{S}, \text{Se}, \dots$  (Cu-B-Hal) III

$\text{Fe(OH)}_3\text{SO}_4$

Shokarev M.M.  
et. al.

1972

"Zh. Neorg. Khim."  
(V) 1972, 17(9), 2474-9.

○  
cu.  $\gamma = \text{FeOOH}$ ; III

$\text{Fe}_2\text{S}_6$

1973

17 Б14. О геометрии и электронных свойствах центра Fe—S ферредоксинов с двумя атомами железа.  
Hagaman J. A., Shupack S. I. On the geometry and electronic properties of the Fe—S site of the two-iron ferredoxins. «Chem. Phys. Lett.», 1973, 19, № 2, 195—196 (англ.)

В рамках расширенного метода Хюкеля с самосогласованием зарядов и конфигураций рассчитаны волно-

几何р.

Х. 1973 N 17

Х. 17  
орг

вые функции основных состояний конформеров активного центра  $\text{Fe}_2\text{S}_6$  окисленной формы ферредоксинов, где каждый атом Fe приблизительно тетраэдрически окружен атомами S (двумя цистeinовыми  $S_c$  и двумя мостиковыми  $S_b$ ). Четыре цистeinовых остатка учтены добавлением к модели двух электронов (0,5 электрона на остаток). Геометрические вариации включали расстояния Fe—Fe и  $S_b$ — $S_b$ , а также валентные углы  $S_c\text{Fe}S_c$  в пределах общей симметрии  $D_{2h}$  центра  $\text{Fe}_2\text{S}_6$ . Полученные волновые функции использованы для расчета тензора градиента поля, откуда определены квадрупольное расщепление и параметр асимметрии. Опытные значения этих величин, найденные из мессбауэровских спектров, служили критерием для выбора «лучшей» геометрии центра, имеющей  $R(\text{Fe}-\text{Fe})=2,9$  Å,  $R(S_b-S_b)=3,0$  Å, угол  $S_c\text{Fe}S_c=90^\circ$ ; все длины связей 2,1—2,2 Å, угол  $S_b\text{Fe}S_b \sim 90^\circ$ . Эта геометрия совершенно отлична от рассчитаной ранее (РЖХим, 1972, 11Б36; 1973, 1Б26) сходным методом, где критерием «лучшей» геометрии служил, однако, минимум полной энергии конформера. Приведены аргументы в пользу большей разумности результатов данного расчета.

Е. Шусторович

$\text{Fe}_2\text{S}_2$

Leibovici Claude

1973

"J. Mol. Struct."

1983, 18, N<sub>1</sub>, 158 - 180.

revised.

(<sub>am</sub>  $\text{Fe}_2\text{O}_2$ ) III

$\text{SO}_2\text{Fe}_2$  (конденс.)

1974

19 Б247. Колебательные спектры  $\text{SO}_2\text{Fe}_2$  в конденсированных фазах. Nolin C., Тремблау J., Savoie R. Vibrational spectra of  $\text{SO}_2\text{F}_2$  in the condensed states. «J. Raman Spectrosc.», 1974, 2, № 1, 71—79  
(англ., рез. франц.)

(Vi)

Получены спектр КР жидк.  $\text{SO}_2\text{F}_2$  при  $150^\circ\text{K}$ , ИК-спектр метастабильной тв. фазы при  $77^\circ\text{K}$  и ИК- и КР-спектры двух тв. фаз при  $77$  и  $10^\circ\text{K}$ . Фаза I наиболее устойчива, но редко образуется непосредственно при охлаждении жидк. фазы. Фазы I и II имеют высокую упорядоченность, но весьма сложны. Кристаллы, вероятно, центросимметричны и содержат по крайней мере 8 молекул в элементарной ячейке в общих положениях. Кристаллы относятся к триклинной или моноклинной системе. Данные исключают возможность кубич. симметрии для фазы II. В области  $545 \text{ см}^{-1}$  обнаружено 3 полосы, отнесенных к основным кол.  $\text{O}_2\text{F}_2$ : двум маятниковым кол. и деф. кол. OSO.

А. П. Курбакова

X. 1974  
N 19

S-Fe

055 4824

1975

Kerr J. A., et al.

(QD)

HandBook Chem. Phys.;  
55 th Ed., 1974-75

$\text{FeS}_6^{10-}$

Osmium 5570

1977

Toselli J.A.

Electro.  
environ.  
Fe-S  
process.

J. Chem. Phys.

1977, 66, n<sup>12</sup>,

5712 - ~~5719~~ 5719

*FeS<sub>4</sub><sup>5-</sup>*

1980

4 Б44. Электронное строение и сверхтонкие взаимодействия в тетраэдрических дитиоферратах (III) щелочных металлов, рассчитанные методом рассеянных волн. Taft C. A., Braga M. Electronic structure and hyperfine interactions in tetrahedral alkali-dithioferrates (III) as calculated by the multiple-scattering method. «Phys. Rev. B: Condens. Matter», 1980, 21, № 12, 5802—5807 (англ.)

Методом ССП- $X_{\alpha}$  рассеянных волн в модели касающихся атомных сфер в спин-неограниченном приближении рассчитано электронное строение кластера  $\text{FeS}_4^{5-}$ , моделирующего дитиоферраты щел. металлов  $\text{KFeS}_2$ ,  $\text{RbFeS}_2$  и  $\text{CsFeS}_2$ . Энергии оптич. переходов, определенные по разностям орбитальных энергий в основном состоянии, хорошо согласуются с эксперим. энергиями оптич. переходов в  $\text{KFeS}_2$ . Величина ферми-контактного взаимодействия на ядре Fe в кластере, вычисленная по разностям спиновых плотностей на ядре Fe, равна —250 кГц, согласуется с эксперим. величиной

*электрон.  
строение*



*л. 1081 № 4*

215 кГц в  $\text{KFeS}_2$ . Сильное уменьшение величины ферми-контактного взаимодействия в кластере по сравнению со свободным ионом  $\text{Fe}^{3+}$  ( $-783$  кГц) объяснено изменением заселенностей  $3d$ - и  $4s$ -орбиталей Fe в кластере. Заселенность  $4s$ -МО в кластере составила 45% и согласуется с величиной 35%, полученной по данным измерений мессбауэровских спектров в  $\text{KFeS}_2$ . Величина эффективного заряда атома Fe в кластере +1,2 также согласуется с оценками (1,5—1,6) по данным мессбауэровских спектров. Уменьшение числа неспаренных  $3d$ -электронов от 5 в ионе  $\text{Fe}^{3+}$  до 3,77 в кластере хорошо согласуется с оценкой 3,83, полученной из анализа данных по измерению магнитной восприимчивости в  $\text{KFeS}_2$ .

И. А. Тополь

$\text{FeO}_3 \text{S}_3$  1982  
Ahn Sangwoon, Park  
Eui Suh., et al.  
Meopem.  
Pacrem  
gun. Moll.  
Bull. Korean Chem.  
Soc. 1982, 3 (3), 98-103.

(cav.  $\text{CrO}_3 \text{S}_3$ ;  $\overset{\circ}{\text{II}}$ )

Ummuck 13836

1982

Fe - cijnoough

Goodenough J.B.,  
Mossayip. Fatseas G.A.,  
Clempt  
J. Solid State Chem.  
1982, 41, N1, 1-22.

$\text{FeS}_6^{10-}$   
(Классер)

(Omnick 13990) 1982

Harris S.,

Kelleek.

расшир.,  
Фееки, рон.  
структура

Chem. Phys., 1982,  
64, N 2, 229-237.



(ал.  $\text{M}_6\text{S}_6^{10-}$ ; I)

$\text{FeS}_4^{5-}$

ОИИ. 14570 1982

23 Б39. Исследование радиальных плотностей в кластере  $\text{FeS}_4^{5-}$ , рассчитанных  $X_\alpha$ -методом рассеянных волн. Lie S. K., Taft C. A. An investigation of the radial densities in the  $\text{FeS}_4^{5-}$  cluster as calculated by the multiple scattering  $X_\alpha$  method. «Chem. Phys. Lett.», 1982, № 6, 463—467 (англ.)

В рамках спин-неограниченного варианта метода ССП- $X_\alpha$  рассеянных волн ( $X_\alpha$ -PB) с использованием приближения касающихся атомных сфер рассчитано электронное строение кластера  $\text{FeS}_4^{5-}$ . Распределение электронного заряда в кластере и механизм хим. связи исследован в результате расчетов интегрального распределения заряда в сферах, а также радиальных электронных плотностей (РЭП) в подсистемах одноэлектронных состояний с проекциями спина  $\alpha$  и  $\beta$ . Для сравнения кластерные РЭП сопоставлены с соотв. РЭП в свободном ионе  $\text{Fe}^{3+}$ . Основные отличия в распределении электронной плотности атома Fe в класте-

расчет  
электрон-  
строения

Х. 1982, 19 N 23

ре и в ионе заключаются в том, что в кластере  $3d^{\beta}$ -уровни заполняются (число заполнения 1,1) и  $4s$ -уровни заняты лишь частично ( $4s\alpha^{0,43} 4s\beta^{0,42}$ ). Заселенности  $3d\alpha$ -уровней 4,94 в кластере и ионе практически совпадают. Для валентных занятых  $3d$ - и  $4s$ -МО в кластере исследовано влияние изменения РЭП  $3d$ -электронов на экранирование  $4s$ -электронов. Анализ РЭП  $3d$ -электронов в сфере Fe показал, что заселенность  $3d^{\beta}$ -уровней 1,1 приводит к уменьшению эффективного магнитного момента, наблюдаемому экспериментально. Вычисленные значения полной электронной плотности на ядре Fe в кластере  $\text{FeS}_4^{5-}$ , а также в др. кластерных соединениях железа использованы для определения калибровочной константы мессбаузеровского изомерного сдвига на ядрах Fe, составившей —0,25. И. А. Тополь

ро.  
ении  
к.



1985

103: 223353p. A normal coordinate analysis of the dianion dithioxotetrachlorodiferrate ( $[\text{Fe}_2\text{S}_2\text{Cl}_4]^{2-}$ ). Hu, Yongxu; Zhang, Linna; He, Lingjie; Lin, Zhengyan (Dep. Oceanogr., Xiamen Univ., Xiamen, Peop. Rep. China). *Jiegou Huaxue* 1985, 4(1), 20-3 (Eng.). In a normal coordinate anal. of  $[\text{Fe}_2\text{S}_2\text{Cl}_4]^{2-}$  the force consts., calcd. frequencies, main potential energy distributions, and assignments of the normal vibrational modes in comparison with exptl. frequencies are given. The assignment of stretching vibrations  $\nu(\text{Fe-S})$  and  $\nu(\text{Fe-Cl})$  and the rationality of the stretching force consts.  $K_{\text{Fe-S}}$  and  $K_{\text{Fe-Cl}}$  are discussed.

(Cul. 10cm.)  
 $\bar{\rho}_i$ )

C.A. 1985, 103, N 26

$\text{FeSO}_4 \cdot 7\text{H}_2\text{O}$

1985

103: 77020j Standard enthalpy of formation of crystalline iron(II) sulfate heptahydrate at 298.15 K. Vasil'ev, V. P.; Dmitrieva, N. G.; Vorob'ev, P. N.; Vasil'eva, V. N.; Yashkova, V. I. (Ivanov. Khim.-Tekhnol. Inst., Ivanovo, USSR). *Zh. Neorg. Khim.* 1985; 30(7), 1685-9 (Russ). The heats of soln. of  $\text{FeSO}_4 \cdot 7\text{H}_2\text{O}$  (c) in  $\text{HClO}_4$  solns. of  $\text{H}_2\text{O}_2$  were measured at 298.15 K. The std. heat of formation was derived.

$(\Delta_{\text{soln}} H, \Delta_f H)$

C.A. 1985, 103, N 10.

1989

110: 45721s A gas-phase study of  $\text{FeS}_n^+$  ( $n = 1-6$ ). MacMahon, T. J.; Jackson, T. C.; Freiser, Ben S. (Dep. Chem., Purdue Univ., West Lafayette, IN 47907 USA). *J. Am. Chem. Soc.* 1989, 111(2), 421-7 (Eng). The series  $\text{FeS}_n^+$  ( $n = 1-6$ ), generated from sequential reactions of  $\text{Fe}^+$  with ethylene sulfide in the gas phase, were studied by using photodissocn., collision-induced dissocn., ion-mol. reactions, and kinetic expts.  $\text{FeS}_n^+$  ( $n = 0-5$ ) reacted with ethylene sulfide by linear pseudo-1st-order kinetics for  $>2.5$  half-lives, indicating that the ions were formed predominantly in their ground states and in 1 isomeric form for each ion studied.  $\text{FeS}_6^+$ , however, did not react with ethylene sulfide.  $D^\circ(\text{Fe}^+ - \text{C}_2\text{H}_2) = 32 \pm 6$  kcal/mol was detd. by ion-mol. reactions. Photodissocn. thresholds gave the following bond energies directly:  $D^\circ(\text{Fe}^+ - \text{S}) = 61 \pm 6$ ,  $D^\circ(\text{Fe}^+ - \text{S}_2) = 48 \pm 5$ ,  $D^\circ(\text{FeS}^+ - \text{S}_2) = 49 \pm 5$ ,  $D^\circ(\text{FeS}_2^+ - \text{S}_2) = 49 \pm 5$ , and  $D^\circ(\text{FeS}_3^+ - \text{S}_2) = 43 \pm 5$  kcal/mol. Photodissocn. and ion-mol. reactions were used to assign  $D^\circ(\text{FeS}_4^+ - \text{S}_2) = 38 \pm 5$  kcal/mol. These bond energies yield a variety of other thermochem. data. The implications of these results to ion structure are discussed.

$D^\circ(\text{Fe}^+ - \text{S}_2)$

(44)

187

C.A. 1989, 110, N6



$n = 1-6$

1989

→ 24 Б1313. Исследование  $FeS_n^+$  ( $n=1-6$ ) в газовой фазе. A gas-phase study of  $FeS_n^+$  ( $n=1-6$ ) / MacMahon T. J., Jackson T. C., Freiser B. S. // J. Amer. Chem. Soc.— 1989.— 111, № 2.— Англ.

С использованием масс-спектрометров с фурье-преобразованием исследованы фотодиссоциация, диссоциация, индуцированная столкновениями, ионно-молек. р-ции и кинетика р-ций  $FeS_n^+$  ( $n=1-6$ ), полученных в результате последовательных р-ций  $Fe^-$  и  $FeS_n^+$  ( $n=1-5$ ) с этиленсульфидом в газ. фазе. Из данных о ионно-молек. р-циях и о порогах фотодиссоциации получены след. значения энергий диссоциации связей:  $D^\circ(Fe^+—S_2) = 48 \pm 5$  ккал/моль;  $D^\circ(Fe^+—S) = 61 \pm 6$  ккал/моль;  $D^\circ(FeS^+—S_2) = 49 \pm 5$  ккал/моль;  $D^\circ(FeS_2^+—S_2) = 49 \pm 5$  ккал/моль;  $D^\circ(FeS_3^+—S_2) = 43 \pm 5$  ккал/моль;  $D^\circ(FeS_4^+—S_2) = 38 \pm 5$  ккал/моль и  $D^\circ(Fe^+—C_2H_2) = 32 \pm 6$  ккал/моль.

В. Ф. Байбуз

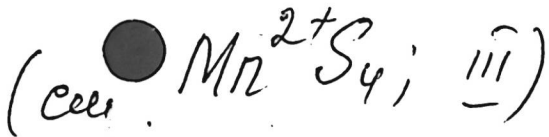
Х. 1989, № 24



1990

Stavrev R., Kinev K.,  
et al.

см.жн.  
ноен.  
пакрн.  
1990, 51(5), 475-6.



1991

FeS<sub>11</sub> 14 Б1042. Электронное распределение в четырехъядерных железо-серных кластерах. Electronic distribution in four-nuclear iron-sulfur clusters: [Abstr.] 5th Int. Conf. Bioinorg. Chem., Oxford, Aug. 4—10, 1991 / Borshch S. A. // J. Inorg. Biochem.— 1991.— 43, № 2—3.— С. 250.— Англ.

М.Н.

В рамках вибронной теории изучено распределение электронной плотности в четырехъядерных кластерах со смешанной валентностью. Анализ адиабатич. потенциала свидетельствует, что в четырехъядерных кластерах наименьший энергетич. барьер для переноса электрона меньше, чем в биядерных кластерах при той же величине межцентрового и вибронного взаимодействия. Поэтому в четырехъядерных кластерах более вероятна делокализация электронов. В таких системах возможно также сосуществование состояний с локализованным и делокализованным распределением электронов. Обсуждено влияние обменного взаимодействия, представленного в виде суперпозиции гейзенберговского и двойного обмена.

Н. В. Харчевникова

X. 1992, N 14

$\text{Fe}_2\text{S}_7^{10-}$  1992

Starrev R.,  
Nikolor G. et al.

Clust. nocev., J. Phys. Chem.  
metop. paerem. Solids 1992, 53(8),  
1139-41.

(crys.  $\text{Mn}_2\text{S}_7^{10-}$ ;  $\text{III}$ )

Съвреже Fe

1995

Bauschlicher Ch. W., Jr.,  
Maître Ph.

meop:  
paerem Theor. Chim. Acta  
1995, 90 (2/3), 189-203

( ScO;  $\text{II}$ )

$Fe_m S_n$

1996

$m, n \leq 6$

| 125: 68275y Structure and magnetism of iron-sulfur clusters.  
| Li, Zhi-Qiang; Ohno, Kaoru; Kawazoe, Yoshiyuki (Institute Materials  
| Research, Tohoku University, Sendai, Japan 980-77). *Sci. Rep. Res.*  
| *Inst., Tohoku Univ., Ser. A* 1996, 41(2, Materials Design by Computer  
| Simulation III), 211-214 (Eng). The electronic structures of  $Fe_m S_n$  ( $m, n \leq 6$ )  
| clusters are studied by the first-principles spin-polarized calcns.  
| within the local-d.-functional formalism. The bond lengths of all  
| clusters are optimized by minimizing the binding energies and the  
| optimized structures are compared with the exptl. investigations and  
| those of iron-sulfur clusters in proteins. The relation of the structures  
| of FeS clusters with those of the pure iron and pure sulfur clusters are  
| discussed. The magnetic moments and electronic structures of the  
| clusters are also presented.

21 · Структура  
и магнетизм  
железо-сульфурных  
кластеров

c. A. 1996, 125, N 6

1999

F: FeS<sup>+</sup>

P: 3

131:162029 On the Structural Dichotomy of Cationic,  
Anionic, and Neutral Schroeder, Detlef; Kretzschmar,  
Ilona; Schwarz, Helmut; Rue, Chad; Armentrout, P. B.  
(Institut fuer Organische Chemie, Technischen Universit  
Berlin, Berlin D-10623, Germany). Inorg. Chem., 38(15),  
3474-3480 (Engli 1999) Structural and thermochem.  
aspects of the FeS<sup>2+</sup> cation are examd. by different mass  
spectrometric methods and ab initio calcns. using d.  
funct theory. Accurate threshold measurements provide  
thermochem. data for FeS FeS<sup>2+</sup>, and FeCS<sup>+</sup>, i.e., D<sub>0</sub>(Fe<sup>+</sup>-  
S) = 3.06 .+- .06 eV, D<sub>0</sub>(SF<sup>+</sup>-S) = 3.59 0.12 eV,  
D<sub>0</sub>(Fe<sup>+</sup>-S<sup>2-</sup>) = 2.31 .+- .12 eV, and D<sub>0</sub>(Fe<sup>+</sup>-CS) = 2.40

.+- .12 Fortunate circumstances allow a refinement of the data for  $\text{FeS}^+$  by means ion/mol. equil., and the resulting  $D_0(\text{Fe}^+ - \text{S}) = 3.08 .+- .04$  eV is among most precisely known binding energies of transition-metal compds. The pr results agree with previous exptl. findings and also corroborate the comp data for  $\text{FeS}^+$  and  $\text{FeS}_2^+$ . Ab initio calcns. predict a sextet ground state for  $\text{FeS}_2^+$  with a cyclic structure. The presence of S-S and Fe-S bonds ac for the fact that not only reactions involving the disulfur unit but also sulfur-atom transfer can occur. In contrast, the  $\text{FeS}_2^-$  anion is an acycl disulfide. In the gas phase, neutral  $\text{FeS}_2$  may adopt either acyclic or cy structures, which are rather close in energy according to the calcns.